

Н.В. Сергиевич, М.Д. Юдин

О ВЕРОЯТНОСТНЫХ ОСНОВАХ МОДЕЛИРОВАНИЯ ЗВЕЗДНЫХ ДЕФОРМАЦИЙ

В [1] нами предложен метод вероятностного моделирования процессов деформаций с зависимыми приращениями, идущими вдоль прямой на плоскости. Здесь предлагается метод вероятностного моделирования звездных деформаций с зависимыми приращениями на плоскости. Идеи этого метода апробированы в Институте механики металлокомплимерных систем им. В.А. Белого НАНБ, г. Гомель [2]. После апробирования [2] нами внесены существенные уточнения в математическую часть.

Как и в [1], мы будем пользоваться базовыми теоремами, опубликованными в [3–5].

Теоретическая часть. В [3–5] было найдено общее представление логарифма x . ф. предельного распределения суммы зависимых случайных векторов.

Пусть $\{\xi_{ns}\}_{s=1}^n$, $n = \overline{1, \infty}$ — система серий d – мерных случайных векторов с ограниченными дисперсиями, $\xi_{ns} = (\xi_{ns}^{(1)}, \dots, \xi_{ns}^{(d)})$, $M\xi_{ns}^{(i)} = 0$, $t = (t_1, \dots, t_d)$, $x = (x^{(1)}, \dots, x^{(d)})$,

$$S_n = \sum_s \xi_{ns}, \quad \text{матрица} \quad B_n = \|b_{n(i,j)}\|, \quad \text{где}$$

$b_{n(i,j)} = \sum_{0 \leq p-s \leq m_n} M(\xi_{ns}^{(i)} \xi_{np}^{(j)}; |\xi_{ns}| \leq \varepsilon, \Lambda |\xi_{np}| \leq \varepsilon), \varepsilon > 0$, $K_n(x) = \sum_{s=1}^n M(\xi_{ns}^2; \xi_{ns} < x)$, где $\xi_{ns} < x$ означает, что $\xi_{ns}^{(i)} < x^{(i)}$, $i = \overline{1, d}$ [6].

В работе [4] показано, что в довольно естественных условиях, когда $K_n(x) \xrightarrow{\text{сл}} K(x)$ при $n \rightarrow \infty$, $\lim_{\varepsilon \rightarrow 0} \lim_{n \rightarrow \infty} B_n = B$, сумма S_n будет иметь безгранично делимое предельное распределение, логарифм x . ф. которого

$$\psi(t) = \int_{R^d} (e^{i(t,x)} - 1 - i(t,x)) \frac{1}{x^2} dK(x) - \frac{(t, Bt^*)}{2}, \quad (1)$$

где из области интегрирования исключен нуль-вектор, (t, \bullet) — скалярное произведение, t^* — вектор-столбец.

Математика моделирования. Пусть $\{\eta_{ns}\}_{s=1}^n$ — серия двумерных приращений размера деформации на плоскости за время Δt_{ns} , $\eta_{ns} = (\eta_{ns}^{(1)}, \eta_{ns}^{(2)})$. Тогда $\ell = \sum_{s=1}^n \eta_{ns}$ — пробег деформации за некоторое время $\tau = \sum_{s=1}^n \Delta t_{ns}$. Положим $\xi_{ns} = \eta_{ns} - M\eta_{ns}$.

Как и в одномерном случае [7; 8], мы придерживаемся концепции, что приращения деформаций делятся на два типа по величине и частоте встречаемости [1]. Большинство приращений имеют относительно малую величину, фактор прорыва стопоров вызывает появление относительно редких значительно больших приращений.

Наличие относительно больших приращений в направлении полуциркульной $x = kx_i$, $k \geq 0$, $x_i = (x_i^{(1)}, x_i^{(2)})$ выражается условием: для любой δ -окрестности v_i точки x_i , $\delta \in (0, |x_i|)$

$$\lim_{n \rightarrow \infty} \sum_s \int_{v_i} x^2 dP\{\xi_{ns} \leq x\} = \lambda_i > 0. \quad (2)$$

Наличие большого числа относительно малых приращений выразится в том, что при любом

$\varepsilon \in (0, |x_i|)$,

$$\sum_s M(\xi_{ns}^2; |\xi_{ns}| \leq \varepsilon) \longrightarrow \sigma_1^2 + \sigma_2^2 > 0$$

(значения σ_1^2 и σ_2^2 войдут соответственно в предел матрицы B_n).

Зависимость между приращениями отразится в тех частях элементов $b_{n(i,j)}$ матрицы B_n , которые складываются при $s \neq p$.

И, наконец, при любых δ , $\varepsilon \in (0, |x_i|)$

$$\lim_{n \rightarrow \infty} \sum_s \int_{\nu_0 \cup \nu_1} x^2 dP\{\xi_{ns} \leq x\} = 0, \quad (3)$$

где ν_0 — ε -окрестность точки $(0,0)$.

Естественно предположить, что $\{\xi_{ns}\}_{s=1}^m$ — n -я серия теоретической системы серий, которая получается при неограниченном дроблении времени разрушения: $\max_s \Delta t_{ns} \rightarrow 0$, $n \rightarrow \infty$, и что система серий $\{\xi_{ns}\}$ удовлетворяет условиям основной теоремы из работы [4], т.е. что сумма $S_n = \sum_s \xi_{ns}$ имеет предельное распределение, логарифм х.ф.

которого выражается формулой (1), где

$$B = \lim_{n \rightarrow \infty} B_n = \begin{pmatrix} b_{11} & b_{12} \\ b_{21} & b_{22} \end{pmatrix}. \quad (4)$$

Из формулы (1) и условий (2)-(4) следует, что сумма S_n будет иметь предельное распределение, логарифм х.ф. которого

$$\psi_i(t) = \lambda_i (e^{i(t, x_i)} - 1 - i(t, x_i)) - \frac{(t, B t^*)}{2}, \quad (5)$$

где $t = (t_1, t_2)$. Если при этом $\sum_n M_{ns} \xrightarrow{n \rightarrow \infty} \ell_0$, $\ell_0 = (\ell_0^{(1)}, \ell_0^{(2)})$, то из (5) получим, что продвижение деформации ℓ при $\max_s \Delta t_{ns} \xrightarrow{s} 0$ будет иметь предельную теоретическую плотность вероятности

$$p_i(x) = \frac{e^{-\lambda_i} \sqrt{|B^{-1}|}}{2\pi} \sum_{m=0}^{\infty} \frac{\lambda_i^m}{m!} \exp\left\{-\frac{1}{2}(y_q, B^{-1} y_q^*)\right\}, \quad (6)$$

где $y_q = x - (\ell_0 - \lambda_i x_i) - m x_i$, y_q^* — вектор-столбец, B^{-1} — матрица, обратная матрице B .

Пусть на плоскости $(x^{(1)}Ox^{(2)})$ расположены v точек $x_i = (x_i^{(1)}, x_i^{(2)})$, отличных от нуля и из которых никакие две не лежат на одной прямой, проходящей через точку O , $i = \overline{1, v}$. Тогда по направлению каждой из прямых $x = kx_i$, $k \geq 0$, $i = \overline{1, v}$, мы можем получить теоретическую плотность вероятности, определяемую равенством (6). Придавая каждому из направлений некоторый вероятностный вес q_i , $\sum_i q_i = 1$, $i = \overline{1, v}$ и считая, что плотности $p_i(x)$ зависят от направлений через λ_i и y_i , мы по формуле полной вероятности получим теоретическую плотность вероятности звездной деформации

$$p(x) = \sum_{i=1}^v q_i p_i(x). \quad (7)$$

Нами получены компьютерные изображения плотностей (7) при различных значениях v , q_i .

λ_i и элементов матрицы $B^{-1} = \begin{pmatrix} c_{11} & c_{12} \\ c_{21} & c_{22} \end{pmatrix}$. Например, на рис. 1 дано изображение теоретической плотности вероятности (7) при $v = 4$, $\lambda_1 = 2,5$, $\lambda_2 = 3$, $\lambda_3 = 3,5$, $\lambda_4 = 4,5$, $b_{11} = b_{22} = 4$, $b_{12} = b_{21} = 1$, $\ell_0 = 1$, $q_i = \frac{1}{4}, i = \overline{1, 4}$. На рис. 2 — при $v = 5$, $\lambda_i = 2, i = \overline{1, 5}$, $b_{11} = b_{22} = 4$, $b_{12} = b_{21} = 1$, $\ell_0 = 1$, $q_i = \frac{1}{5}, i = \overline{1, 5}$.

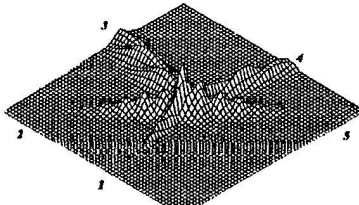


Рис. 1

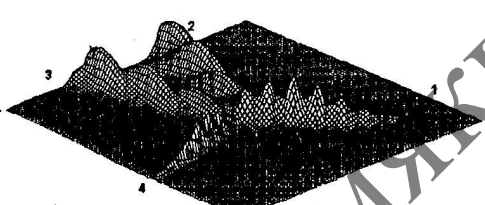


Рис. 2

Исследование роли параметров и компьютерное варьирование показали, в частности, что при увеличении параметра λ_i число вершин по i -му направлению увеличивается и наибольшие из них смещаются дальше от начала координат; при уменьшении λ_i , наоборот, число вершин уменьшается и они смещаются к началу координат. При уменьшении дисперсионных и корреляционных параметров между вершинами появляются “проталины”, при увеличении — вершины сглаживаются.

Если добиться такого подбора параметров звездной деформации, при которых поверхность теоретической плотности (7) будет адекватна экспериментальной поверхности, то подобранные параметры дадут, вообще говоря, новые характеристики исследуемого материала.

Литература

- Гуз С.Н., Сергиевич Н.В., Юдин М.Д. Сложное пуассоновское распределение в моделировании некоторых деформаций // Весн. Мазыр. дзярж. пед. ін-та імя Н.К. Крупской.– 1999. – №2.– С.26–30.
- Юдин М.Д., Сергиевич Н.В., Шилько С.В. Локализация дефектов в твердых телах. Часть 1. Вероятностная модель поверхностного разрушения кристаллов// Материалы. Технологии. Инструменты.–1999. – №3.– С.5–8.
- Юдин М.Д. О решении центральной предельной проблемы теории вероятностей для сумм зависимых векторов // Весці АН Беларусі. Сер. фіз.-мат. навук. – 1994. – №3. – С.31–35.
- Юдин М.Д. Об обобщении формулы Колмогорова на суммы зависимых векторов // Изв. вузов. Математика.–1999. – №4.– С.61–64.
- Юдин М.Д. О предельных распределениях сумм зависимых векторов // Весці АН Беларусі. Сер. фіз.-мат. навук. – 1997. – №4. – С.19–23.
- Биллингсли П. Сходимость вероятностных мер. – М.: Наука, 1977. – 352 с.
- Башмаков В.И., Чикова Т.С., Юдин М.Д. Распределение трещин по размерам в кристаллических телах // ДАН БССР. – 1983. – Т.27, №4.– С.326–328.
- Юдин М.Д. Сходимость распределений сумм случайных величин. – Мин.: Университетское, 1990. – 254 с.

Summary

The method of simulation of star-shaped strains with dependent increments is offered.